УДК 621.317 РАДИОЭЛЕКТРОНИКА

### В.Г. АВЕТИСЯН, М.В. МАРКОСЯН, А.А. ОГАНЕСЯН, С.Г. ЭЙРАМДЖЯН

# ТЕСТИРОВАНИЕ МОДУЛЕЙ АКТИВНОЙ ФАЗИРОВАННОЙ АНТЕННОЙ РЕШЕТКИ

#### Сообщение 1. Методика тестирования

Предлагается методика тестирования модулей активной фазированной антенной решетки (АФАР). Модуль состоит из четырех элементарных приемо-передающих ячеек, каждая из которых содержит электронноуправляемые аттенюатор и фазовращатель, усилители мощности, малошумящие усилители и излучатель, параметры которых достаточно просто тестируются по предлагаемой методике.

**Ключевые слова:** активная фазированная антенная решетка, приемо-передающая ячейка, методика тестирования.

В настоящее время в СВЧ радиотехнических системах различного рода широко применяются АФАР. Несомненным преимуществом АФАР является обеспечение ее высокой направленности вместе с возможностью оперативного управления параметрами АФАР в различных режимах работы радиотехнической системы [1]. Особенностью АФАР является наличие активных элементов в ее приемопередающих ячейках, а именно: усилителей мощности в режиме передачи, малошумящих усилителей для режима приема, аттенюаторов, фазовращателей и т.д.

Цель настоящей работы - рассмотреть вопрос тестирования параметров приемопередающих модулей AФAP.

В нашем случае модуль  $A\Phi AP$  состоит из четырех элементарных приемопередающих ячеек, каждая из которых включает в себя узлы согласно приведенной на рис.1 блок-схеме.

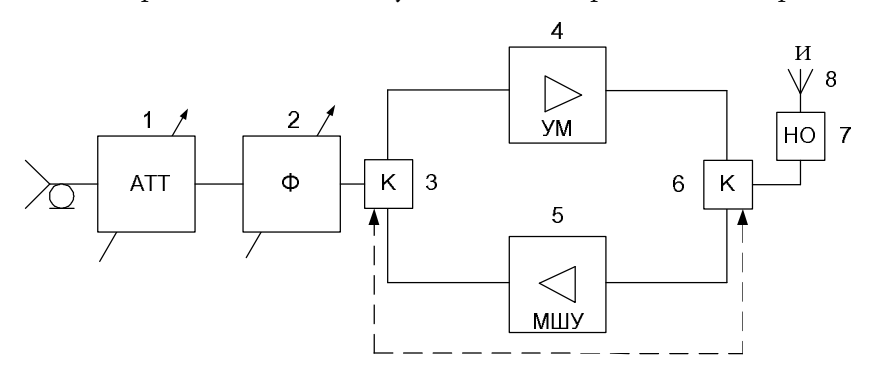


Рис.1. Блок-схема приемопередающей ячейки: 1 - электронно-управляемый дискретный аттенюатор, 2 - электронно-управляемый дискретный фазовращатель, 3, 6 - синхронно-работающие коммутаторы, 4 - цепочка усилителей мощности, 5 - цепочка малошумящих усилителей, 7 - направленный ответвитель, 8 - излучатель

Ослабление аттенюатора 1 управляется в определенном интервале и с определенным дискретом. Управляемый фазовращатель 2 осуществляет изменение фазы в определенном интервале углов и с определенным дискретом угла. В режиме излучения сигнал усиливается цепочкой балансных микрополосковых усилителей мощности 4. В режиме приема работает цепочка малошумящих усилителей (МШУ) 5. Переключение каналов приема и передачи осуществляется синхронно работающими коммутаторами 3 и 6. Направленный ответвитель 7 в виде моста Ланге [2] следует за коммутатором 6. Мост обеспечивает квадратурные сигналы для получения волны правой круговой поляризации, излучаемый квадратным микрополосковым излучателем 11 размерами  $\lambda/2 \cdot \lambda/2$ .

Методика тестирования включает проверку работоспособности вышеперечисленных узлов и соответствия их основных параметров техническому заданию (ТЗ) и паспортным данным. Параметры аттенюатора 1, фазовращателя 2, цепочки усилителей мощности 4 и излучателя 8 тестируются посредством определения амплитуд  $E_y$ ,  $E_x$  и фаз  $\phi_y$ ,  $\phi_x$  вертикальной  $\dot{E}_y$  и горизонтальной  $\dot{E}_x$  комплексных составляющих электрического поля  $\dot{E}$  ( $\dot{E}=\vec{x}\dot{E}_x+\vec{y}\dot{E}_y$ ) в дальней зоне излучателя 8 тестируемого модуля. Блок-схема тестирования  $E_y$ ,  $E_x$ ,  $\phi_y$ ,  $\phi_x$  приведена на рис. 2.

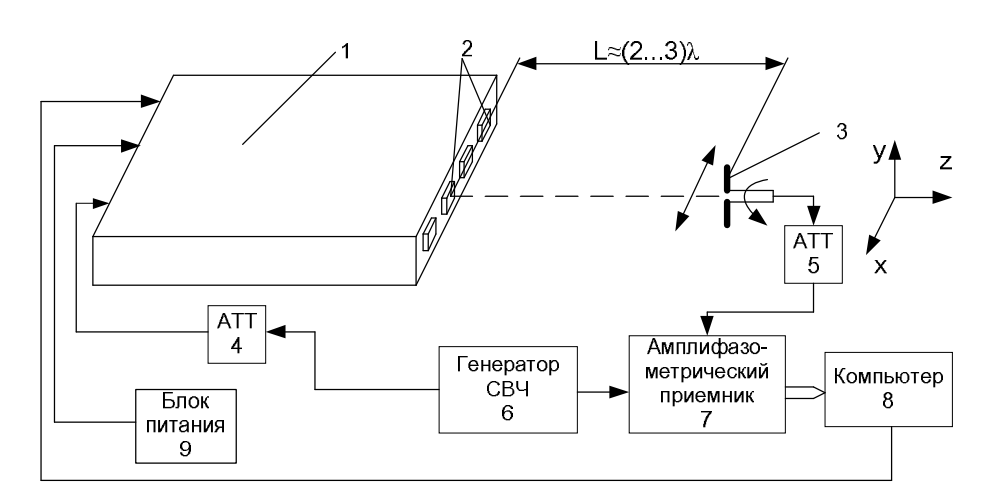


Рис. 2. Блок-схема тестирования модуля  $A\Phi AP$ : 1 - модуль  $A\Phi AP$ , 2 - микрополосковый квадратный излучатель элементарной приемопередающей ячейки, 3 - измерительная антенна (полуволновой вибратор), 4, 5 - калибрующие аттенюаторы, 6 - CBY генератор, 7 - амплифазометрический приемник, 8 - компьютер, 9 - блок питания

Управление подачей рабочих напряжений от блока питания на приемо-передающие ячейки осуществляется компьютером через модуль. Расстояние  $L\approx(2...3)\lambda$  между плоскостью расположения излучателей элементарных ячеек 2 модуля 1 и плоскостью, в которой перемещается измерительная антенна 3 в виде полуволнового вибратора, обеспечивает дальнюю зону излучателя ячейки [3]. Продольная ось Z измерительной антенны 3 совмещается с нормалью, проведенной через центр симметрии излучателя тестируемой ячейки. При этом остальные ячейки обесточены. Для определения составляющих  $\dot{E}_y$  и  $\dot{E}_x$  измерительная антенна 3 имеет возможность дискретного поворота вокруг продольной оси Z на 90°. Выходными сигналами амплифазометрического приемника 7 [4] являются амплифазные ортогональные компоненты  $U_{1y}, U_{2y}$  составляющей  $\dot{E}_y$ :

$$\dot{E}_{y} = U_{1y} + jU_{2y} = E_{y}\cos\phi_{y} + jE_{y}\sin\phi_{y} = E_{y}e^{j\phi_{y}}$$
 (1)

или амплифазные компоненты  $U_{1x},\,U_{2x}$  составляющей  $\dot{E}_{x}$  :

$$\dot{E}_x = U_{1x} + jU_{2x} = E_x \cos\varphi_x + jE_x \sin\varphi_x = E_x e^{j\varphi_x}$$
 (2)

в зависимости от ориентации полуволнового вибратора измерительной антенны 3. Причем амплитуды  $E_y$ ,  $E_x$  и фазы  $\phi_y$ ,  $\phi_x$  соответственно составляющих  $\dot{E}_y$  и  $\dot{E}_x$  поля  $\dot{\bar{E}}$  вычисляются компьютером 8 по измеренным амплифазным компонентам посредством очевидных выражений

$$E_x = \sqrt{U_{1x}^2 + U_{2x}^2}$$
;  $E_y = \sqrt{U_{1y}^2 + U_{2y}^2}$ , (3)

$$\phi_{x} = \operatorname{arctg} \frac{U_{2x}}{U_{1x}} ; \phi_{y} = \operatorname{arctg} \frac{U_{2y}}{U_{1y}}.$$
 (4)

Прежде чем описать методику тестирования параметров вышеотмеченных узлов, отметим, что важным из тестируемых параметров является заданный в ТЗ уровень излучаемой мощности  $P^0_{\text{мод}}$  на входе излучателя 8 тестируемой ячейки. Он обеспечивается опять же заданными в ТЗ уровнем мощности  $P^0_{\text{вх}}$  на входе ячейки и коэффициентом усиления  $K^0_{\text{ум}}$  по мощности ячейки. Поэтому в процессе тестирования необходимо обеспечение заданных  $P^0_{\text{вх}}$  и  $P^0_{\text{мод}}$ .

Уровень  $P^{0}_{BX}$  калибруется показанием калибрующего аттенюатора 4 блок-схемы 2 путем измерения его выходной мощности. Предположим, что показанию ослабления  $G^{0}_{4}$  ( $Z\!\!B$ ) аттенюатора 4 соответствует  $P^{0}_{BX}$ .

Для обеспечения  $P^0_{\text{мод}}$  производится следующая начальная калибровка. Выход аттенюатора 4 подсоединяется к входу коаксиально-волноводного перехода (КВП), который располагается перед измерительной антенной 3 так, чтобы их продольные оси симметрии совмещались, а расстояние от плоскости волноводного фланца КВП до измерительной антенны равнялось L. Затем измерителем мощности и вторым КВП, подсоединенным к первому КВП, ручкой аттенюатора 4 устанавливается

уровень мощности  $P^0_{\text{мод}}/2$  на выходе фланца первого КВП. После этого второй КВП убирается, аттенюатор 5 выводится из закрытого состояния, ручкой аттенюатора 5 устанавливается ослабление  $G^0_5(\mathcal{AB})$ , необходимое для нормальной работы амплифазометрического приемника, и фиксируется вычисляемая компьютером 8 амплитуда  $E_{y0}$ , соответствующая вертикальной составляющей поля в точке расположения измерительной антенны 3, ориентированной вдоль оси Y. Ясно, что при тестировании элементарной ячейки модуля по блок-схеме, изображенной на рис.2, величина  $E_{y0}$  с учетом круговой поляризации волны, излучаемой излучателем ячейки, будет фиксироваться при входной мощности излучателя, равной  $P^0_{\text{мод}}$ , и показании  $^0$ G5 аттенюатора 5, равном

$${}^{0}G_{5} = G^{0}_{5} + (G_{\text{изл}} - G_{\text{KB}\Pi}),$$
 (5)

где  $G_{\text{изл}} = G_{\text{изл}}(\mathcal{A}\mathcal{B})$  - коэффициент усиления излучателя, а  $G_{\text{КВП}} = G_{\text{КВП}}(\mathcal{A}\mathcal{B})$  - коэффициент усиления открытого конца КВП.

Таким образом, после начальных калибровок тестирование итогового коэффициента усиления  $K_{ym}$  по мощности ячейки модуля в режиме передачи сводится к следующему: а) ручка аттенюатора 5 устанавливается на показание ослабления  $^0G_5$ ; б) ручка аттенюатора 4 устанавливается на показание ослабления в районе величины  $G^0_4$ ; в) определяется отклонение  $\Delta$   $K_{ym}(\mathcal{A}\mathcal{B})$  коэффициента усиления по мощности от величины  $K^0_{ym}$ , заданной в Т3, согласно выражению

$$\Delta K_{ym}(AB) = K_{ym}(AB) - K_{ym}(AB) = G_4 - G_4,$$
 (6)

где  $G_4$  ( $\mathcal{AB}$ ) - показания аттенюатора 4, при котором компьютер 8 выдает величину  $E_{y0}$ , которая свидетельствует о наличии на входе излучателя тестируемой ячейки уровня мощности  $P^0_{\text{мод}}$ . Очевидно, что результаты вычислений фаз  $\phi_y$  при такой процедуре тестирования ячеек определяют разброс фазовых передаточных характеристик ячеек в режиме излучения.

После вышеупомянутых процедур (величин  $K^0_{yM}$  и  $\phi_y$ ) процедура тестирования фазовращателя 2 и аттенюатора 1 (рис.1) тестируемой ячейки сводится к следующему. На электронно-управляемый аттенюатор 1 подается управляющее напряжение, и при неизменном значении  $E_{y0}$  путем отсчета разности показаний ( $G_5$  -  ${}^0G_5$ ) аттенюатора 5 определяются вводимые аттенюатором 1 дискрет и интервал ослабления. Тестирование же электронно-управляемого фазовращателя 2 осуществляется путем отсчета изменения фазы  $\phi_y$ , вычисляемой компьютером 8.

Следующими тестируемыми параметрами в режиме излучения являются поляризационные характеристики волны, излучаемой излучателем. Для их тестирования измерительная антенна 3 поворачивается на угол 90° вокруг своей продольной оси Z, и при показаниях G4 и °G5 соответственно калибрующих аттенюаторов 4 и 5 компьютером 8 вычисляется амплитуда  $E_{x0}$  и фаза  $\phi_x$  горизонтальной составляющей поля  $\dot{E}$ . Затем компьютер 8

последовательно вычисляет угол наклона  $\alpha$  поляризационного эллипса излучаемой волны [5]:

$$\alpha = \operatorname{arctg} \frac{2(E_{xo}/E_{y0})\cos(\varphi_{y} - \varphi_{x})}{(E_{xo}/E_{y0})^{2} - 1},$$
(7)

коэффициент эллиптичности т этой волны:

$$m = \frac{\sqrt{1 - (E_{xo}/E_{y0})^2 tg^2 \alpha}}{\sqrt{(E_{xo}/E_{y0})^2 - tg^2 \alpha}}$$
(8)

и, наконец, уровень кросс-поляризации  $\Delta_{\rm k}$  волны паразитной круговой левой поляризации:

$$\Delta_{k}(\partial E) = 20 \lg \frac{E_{\pi}}{E_{\pi}} = 20 \lg \frac{1-m}{1+m},$$
(9)

где Ел и Еп- амплитуды волн соответственно левой и правой круговых поляризаций волны.

Тестирование заданного в Т3 итогового коэффициента усиления  $K^0_{\text{мшу}}$  цепочки малошумящих усилителей выполняется в приемном режиме элементарной ячейки модуля. Для этого опять применяется блок-схема рис.2, но в ней модуль 1 и измерительная антенна 3 переставляются местами.

В этом случае также производятся начальные калибровки. Однако, прежде чем описать выполнение калибровок, отметим следующее. При блок-схеме рис.2 в режиме приема элементарной ячейки модуля мощность  $P_{\text{вк}}^{\text{мшу}}$  на входе цепочки МШУ 5 (см рис.1), с учетом деления мощности пополам мостом Ланге, определится, согласно [6], соотношением

$$P_{\text{bx}}^{\text{MIIIV}} = 0.5 \times P_0^{\text{MA}} G_{\text{MA}} G_{\text{M3D}} \left( \frac{\lambda}{4\pi L} \right)^2 G_6, \qquad (10)$$

где  $P_0^{\text{иA}}$  – мощность на входе измерительной антенны 3;  $G_{\text{иA}}$  - коэффициент усиления измерительной антенны 3;  $G_6$  - коэффициент передачи коммутатора 6;  $\lambda$  - длина рабочей СВЧ волны.

Мощность на выходе ячейки  $P^{0}_{\text{вых}}$  (на входном разъеме аттенюатора 1 рис.1) определяется выражением

$$P_{\text{вых}}^{0} = P_{\text{вх}}^{\text{MIIIV}} K_{\text{MIIIV}}^{0} G_{3} G_{2} G_{1} = 0.5 \times P_{0}^{\text{MA}} G_{\text{ИА}} G_{\text{ИЗЛ}} \left(\frac{\lambda}{4\pi L}\right)^{2} K_{\text{MIIIV}}^{0} G_{6} G_{3} G_{2} G_{1}, (11)$$

где  $G_1$  и  $G_2$  - коэффициенты передачи соответственно обесточенных аттенюатора 1 и фазовращателя 2 схемы рис.1;  $G_3$  - коэффициент передачи коммутатора 3.

Если принять  $G_{\text{иа}}G_{_{\text{изл}}}G_{_{6}}G_{_{3}}G_{_{2}}G_{_{1}}\approx 1$  ( $G_{_{\text{изл}}}\leq 6\partial B$ ,  $G_{_{\text{иА}}}\approx 2\partial B$ ), усиление цепочки усилителей  $K_{_{\text{МШУ}}}^{_{0}}\approx 30\partial B$ ,  $L\approx (2...3)\lambda$  и  $P^{_{0}}_{_{\text{вых}}}\approx 10 MBr\approx 0.1P_{_{\text{нас}}}$ , где  $P_{_{\text{нас}}}-$  выходная мощность насыщения МШУ, из (11) получим  $P_{_{0}}^{_{_{\text{изл}}}}\approx 10...26 MBr$ . Выберем  $P_{_{0}}^{_{_{\text{из}}}}=10$  мBr и при конкретных величинах, входящих в (11), рассчитаем величину  $P_{_{0}}^{_{_{\text{вых}}}}$ .

Далее производим первую начальную калибровку. Она заключается в калибровке уровня выбранной мощности  $P_0^{\text{UA}}$  на входе измерительной антенны 3. Для этого выход аттенюатора 4 подсоединяется к измерителю мощности, и ручкой аттенюатора 4 устанавливается ослабление, соответствующее выбранному уровню  $P_0^{\text{UA}} = 10 \, \text{MBT}$ . Предположим, что показание ослабления  $G_4^{01}$  аттенюатора 4 соответствует этому уровню.

Вторая начальная калибровка заключается в следующем. К выходу аттенюатора 4 (рис.2) подключается измеритель мощности, и ручкой аттенюатора 4 на его выходе устанавливается расчетный уровень мощности  $P^0_{\text{вых}}$ . Измеритель мощности убирается, и к выходу аттенюатора 4 подключается вход закрытого аттенюатора 5. Ручкой аттенюатора 5 устанавливается показание ослабления  $G_5^{01}$ , обеспечивающее нормальную работу амплифазометрического приемника 7, и фиксируется величина  $E^{01}$ , вычисляемая компьютером 8 при установленных ослаблениях аттенюаторов 4 и 5. На этом процесс второй начальной калибровки завершается.

После выполнения описанных калибровок производится тестирование итогового коэффициента усиления  $K_{\text{мшу}}$  ячейки модуля в режиме приема по блок-схеме рис.2. Для этого: а) ручкой аттенюатора 4 устанавливается показание ослабления  $G_4^{01}$ ; б) аттенюатор 5 выводится из закрытого состояния, его ручкой устанавливается показание ослабления в районе величины  $G_5^{01}$ ; в) определяется отклонение  $\Delta K_{\text{мшу}}$  (дБ) коэффициента усиления  $K_{\text{мшу}}$  цепочки малошумящих усилителей ячейки от заданного в ТЗ значения  $K_{\text{мшу}}$  по выражению

$$\Delta \text{ Kmiiy } (\not a \not B) = \text{Kmiiy } (\not a \not B) - \text{K}^0 \text{miiy } (\not a \not B) = G_5 (\not a \not B) - G_5^{01} (\not a \not B), \tag{12}$$

где  $G_5(\mathcal{AB})$  - показание ослабления аттенюатора 5, при котором значение вычисляемой компьютером 8 величины амплитуды равно  $E^{01}$ .

Ясно, что результаты вычисления компьютером  $\phi_y$  или  $\phi_x$  (в зависимости от ориентации измерительной антенны) при этой процедуре тестирования ячеек определяют разброс фазовых передаточных характеристик ячеек в режиме приема.

В результате предлагаемая методика позволяет просто осуществить проверку работоспособности узлов, входящих в элементарные приемо-передающие ячейки модуля АФАР, и тестирование на соответствие с ТЗ и с паспортными данными следующих параметров входящих узлов:

- дискреты и интервалы ослаблений, вводимых электронно-управляемыми аттенюаторами;
- дискреты и интервалы фазовых сдвигов, вводимых электронно-управляемыми фазовращателями;
- разбросы комплексных передаточных характеристик ячеек как в режиме передачи сигнала, так и в режиме его приема;

• поляризационные характеристики волн, излучаемых элементарными ячейками.

Предметное описание стенда тестирования, анализ погрешностей и экспериментальные результаты тестирования модулей АФАР будут приведены в Сообщении 2 данной статьи.

#### СПИСОК ЛИТЕРАТУРЫ

- 1. Антенно-фидерные устройства и распространение радиоволн / Под ред. **Г.А.Ерохина.** М.: Радио и связь, 1996.-352 с.
- 2. Edwards T.C., Steer M.B. Foundations of interconnect and microstrip design, Third edition, Hardcower, 2000.
- 3. Фрадин А.З., Рыжков Е.В. Измерения параметров антенно-фидерных устройств. М.: Связь, 1972.-352с.
- 4. **Эйрамджян С.Г., Отанесян А.А., Саакян Г.Б.** Разработка и испытание миниатюрных амплифазометров для измерительных систем // Труды 5-й Международной конференции по компьютерным наукам и информационным технологиям (CSIT-2005).- Ереван: Изд. НАН РА, 2005. С. 624 627.
- 5. Драбкин А.Л., Зузенко В.Л., Кислов А.Г. Антенно-фидерные устройства. М.: Сов.радио, 1974. 536 с.
- 6. Методы измерения характеристик антенн СВЧ / Под ред. **Н.М. Цейтлина.** М.: Радио и связь, 1985. 368с.

АОЗТ "ЕрНИИСС". Материал поступил в редакцию 27.09.2006.

## Վ.Հ. ԱՎԵՏԻՍՑԱՆ, Մ.Վ. ՄԱՐԿՈՍՑԱՆ, Ա.Ա. ՀՈՎՀԱՆՆԻՍՑԱՆ, Ս.Գ. ԷՑՐԱՄՋՑԱՆ ԱԿՏԻՎ ՓՈՒԼԱՎՈՐՎԱԾ ԱՆՏԵՆԱՑԻՆ ՑԱՆՑԻ ՄՈԴՈՒԼՆԵՐԻ ԹԵՍԹԱՎՈՐՈՒՄԸ

# Հաղորդում 1. Թեսթավորման եղանակ

Առաջարկվում է ակտիվ փուլավորված անտենային ցանցի (ԱՓԱՑ) մոդուլների թեսթավորման եղանակ։ Մոդուլը բաղկացած է չորս տարրական ընդունող-հաղորդող բջիջներից, որոնցից յուրաքանչյուրը պարունակում է էլեկտրոնային ղեկավարվող մարիչ և փուլաշրջիչ, հզորության ուժեղարարներ, սակավաղմկող ուժեղարարներ և ձառագայթիչ, որոնց պարամետրերը բավականին պարզ թեսթավորվում են առաջարկվող եղանակով։

**Առանցքային բառեր**. ակտիվ փուլավորված անտենային ցանց, ընունող-հաղորդող բջիջ, թեսթավորման եղանակ։

# V.H. AVETISSYAN, M.V. MARKOSYAN, A.A. HOVHANNISYAN, S.G. EYRAMJYAN ACTIVE PHASED ARRAY MODULE TESTING Report 1. Testing methodology

The methodology of active phased array module testing is suggested. The module consists of four elementary receiving-transmitting cells, each of which contains an electronically controlled attenuator and phase shifter, power amplifiers, low-noise amplifiers and radiator, parameters of which are tested sufficiently simply by the suggested methodology.

Keywords: active phased array, receiving-transmitting cell, testing methodology.